

تحلیل الگوی مکانی گسلش و رومرکز رخدادهای لرزه‌ای با استفاده از روش فرای (مطالعه موردی در استان یزد)

بابک سامانی

استادیار دانشکده علوم زمین دانشگاه شهید چمران اهواز

عباس چرچی

استادیار دانشکده علوم زمین دانشگاه شهید چمران اهواز

تاریخ دریافت: ۹۴/۰۶/۱۵ تاریخ پذیرش: ۹۴/۰۶/۱۳

b.samani@scu.ac.ir

چکیده

با استفاده از پردازش چشمی و فیلترسازی تصاویر ماهواره‌ای مهمترین خط واره‌های استان یزد استخراج گردیده است. نقشه تراکم شکستگی نشان دهنده بالاترین تراکم شکستگی و گسلش در بخش‌های مرکزی و شمال شرقی استان یزد می‌باشد. تصویر اندازی رومرکز رخدادهای لرزه‌ای تاریخی و سده اخیر نشان دهنده بیشترین تمرکز زمین لرزه‌ها در بخش‌های شمال شرقی استان می‌باشد. تحلیل الگوی مکانی ساختارهای شکننده نشان دهنده روند غالب شمال غرب-جنوب شرق در توسعه گسل‌ها و شکستگی‌ها می‌باشد. به کارگیری تحلیل الگوی مکانی Fry و استفاده از داده‌های نقطه‌ای رومرکز رخدادهای لرزه‌ای نشان دهنده وجود یک روند غالب شمال غرب-جنوب شرق جهت انتشار رخدادهای لرزه‌ای در پهنه استان یزد می‌باشد. نتایج نشان می‌دهد پراکنش رومرکز زلزله‌ها یک الگوی پهنه‌ای، پراکنده و نامشخص نبوده بلکه دارای یک روند بارز شمال غرب-جنوب شرق می‌باشد بنابراین گسل‌ها با روند غالب شمال غرب-جنوب شرق عنوان مهمترین چشممه‌های لرزه‌زا در این استان محسوب می‌شوند. مهمترین جنبه کاربردی این مقاله تعیین راستاهای غالب وقوع زمین لرزه در پهنه‌های لرزه‌ای مختلف می‌باشد.

کلمات کلیدی: تحلیل الگوی مکانی، تراکم شکستگی، آنالیز فرای، چشممه لرزه‌زا

مقدمه

آنها با روندهای غالب ساختارهای گسلی در استان یزد مورد بررسی قرار گرفته است. با توجه به راهکارهای ارائه شده جهت تعیین روندهای مکانی غالب در درک رخدادهای لرزه‌ای، این مقاله می‌تواند در مطالعات آینده مورد استفاده علاقمندان به این زمینه قرار گیرد.

روش کار

در این پژوهش الگوی مکانی گسل‌ها و رومرکز زلزله‌های استان یزد مورد ارزیابی و مقایسه قرار گرفته است. به این منظور با استفاده از روش‌های تشخیص چشمی و فیلتر سازی و بارز سازی تصاویر ماهواره‌ای مهمترین گسل‌ها و شکستگی‌های منطقه استخراج گردید. با استفاده از ایزار افزوده شده نمودار گل سرخی جهت یابی مکانی گسل‌ها و شکستگی‌ها Polar plot ترسیم و مورد ارزیابی قرار گرفت. با استفاده از روش فرای (Fry, 1979) به تحلیل الگوی مکانی رومرکز زلزله‌ها پرداخته شد. به این منظور با بکارگیری نرم افزار DotProc و به کار گیری تحلیل چند مرحله‌ای رومرکز زلزله‌ها، الگوی مکانی توزیع رخدادهای لرزه‌ای تعیین گردید. نهایتاً نتایج حاصل از تحلیل الگوی مکانی گسل‌ها، شکستگی‌ها و رومرکز رخدادهای لرزه‌ای با یکدیگر مقایسه و در خصوص الگوی توزیع رخدادهای لرزه‌ای و میدان نتش بحث گردید.

تکتونیک و لرزه زمین ساخت استان یزد

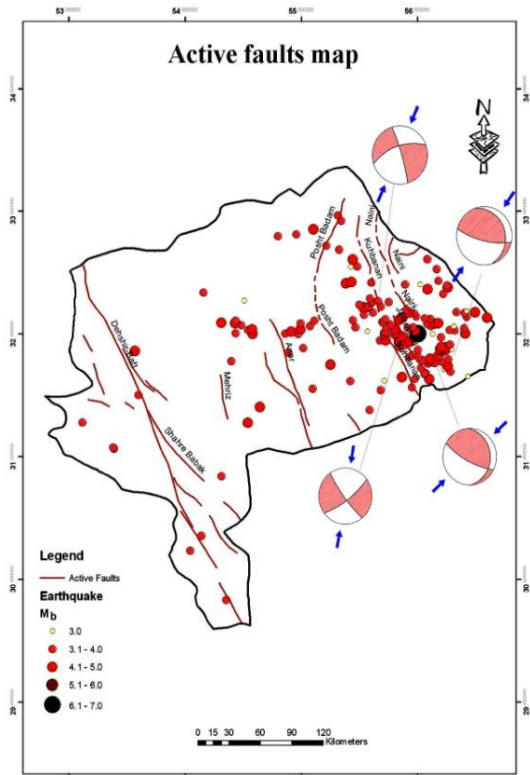
استان یزد در حاشیه کویر مرکزی ایران و تقریباً در میانه فلات مرکزی که مناطق مایین رشته کوه البرز و رشته کوههای زاگرس را تشکیل می‌دهد قرار گرفته است. از لحاظ ساختاری و چینه شناسی استان یزد در پهنه تکتونیکی ایران مرکزی واقع شده است. پهنه ایران مرکزی با قدمتی طولانی بصورت یک خرد قاره تکتونیکی در طی فعالیتهای تکتونیکی و وقایع کوهزایی نقش مهمی

پهنه ایران زمین به دلیل قرار گیری بر روی کمریند زلزله همواره در معرض خطر وقوع زلزله‌های مخرب بوده است. شکل گیری گسل‌های بزرگ و عمیق در طول تکامل پوسته ای ایران وجود میدانهای تنش فعال همواره آن را مستعد وقوع رخدادهای لرزه‌ای پرمخاطره ای کرده است. ایالت لرزه زمین ساخت ایران مرکزی به دلیل وجود ساختارهای گسلی قدیمی و بزرگ یکی از مناطق خطر زا با پتانسیل خطر بالا در پهنه ایران محسوب می‌شود (Berberian, 1976). مطالعات سایزموتکتونیکی و تحلیل های لرزه‌ای با استفاده از روش‌های آماری گوتنبرگ-ریشترا بر روی این ایالت لرزه‌ای نشان دهنده پتانسیل بالقوه این ایالت لرزه‌زا جهت رخدادهای لرزه‌ای پایین و دوره بارگشت نسبتاً کوتاه برای زلزله‌های بزرگ می‌باشد (Nowroozi, 1986). تاکنون مطالعات متعددی جهت برآورد پارامترهای لرزه خیزی و شناخت مهمترین چشممه‌های لرزه‌زا در بخش‌های مختلف ایران صورت گرفته است. شناخت گسل‌های لرزه‌زا و به نقشه در آوردن آنها و استفاده از بانک اطلاعات لرزه‌ای با عدم قطعیت مناسب کمک شایانی به زمین شناسان جهت درک خصلتهای لرزه‌ای یک منطقه خواهد نمود (علیمی و همکاران, ۱۳۹۳؛ اسلامی و درخشانی, ۱۳۹۳).

خوبی‌خانه مطالعات زمین شناسی صورت گرفته باعث شناخت بسیاری از گسل‌های مهم و لرزه‌زا بر روی پوسته ایران گشته است.

در این مطالعه با تحلیل جهت یابی ساختارهای خطی، روندهای غالب این ساختارها در استان یزد مشخص شده است. از آنجا که استفاده از نقشه رومرکز زلزله‌ها جهت تعیین روندهای غالب لرزه‌زا به دلیل الگوی پراکنش پهنه‌ای رومرکز زلزله‌ها معمولاً با مشکل مواجه می‌شود در این مطالعه با استفاده از آنالیز فرای، جهت یابی مکانی و روندهای غالب چشممه‌های لرزه‌زا و مقایسه

در نزدیکی گسلها بیشتر از مقادیر ارائه شده در جدول ۱ می باشد. شکل(۳) نقشه پهنه بندی شتاب لرزه ای در استان یزد را نشان می دهد. با استفاده از داده های لرزه ای باجه زمانی ۲۰۱۴-۱۹۰۰ میلادی و پس از همگن سازی داده ها (۳۳۰ داده مربوط به زلزله های بزرگتر از $M_b=3$ ریشتر) محاسبه پارامتر لرزه خیزی b-value در رابطه گوتبرگ-ریشتر نشان دهنده مقدار پایین این کمیت لرزه ای بوده ($b=0.67$) و نشان از توان لرزه ای بالای پهنه استان یزد دارد (شکل ۴). بر اساس شبیب خط حاصل در نمودار گوتبرگ-ریشتر احتمال وقوع رخداد لرزه ای با بزرگای $7/6$ ریشتر در پهنه استان یزد محتمل می نماید.



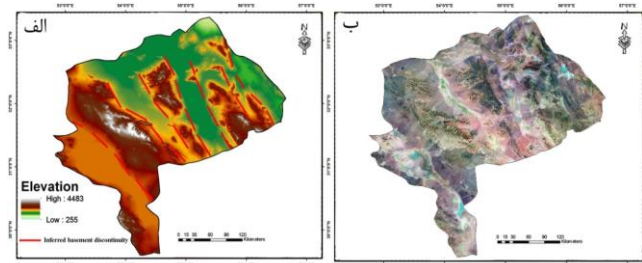
شکل ۲. گسلهای لرزه زا در استان یزد بهمراه رومرکز زلزله های ۲۰۱۴ تا ۱۹۰۰ میلادی. اقتباس از نقشه گسلهای فعال ایران تهیه شده توسط پژوهشگاه بین المللی زلزله شناسی و مهندسی زلزله

جدول ۱. شتابهای افقی وارده بر شهر یزد در نتیجه وقوع بیشینه زلزله محتمل حاصل از فعالیت گسلهای مختلف

شتاب (g)	M (ریشتر)	طول گسل (Km)	گسل
۰/۱۸	۷/۶	۳۵۰	دهشیر-بافت
۰/۲۶	۶/۷	۴۰	مهریز
۰/۰۶	۷/۱	۱۲۰	شهر بابک
۰/۲۳	۷/۱	۱۲۰	انار
۰/۰۸	۷/۳	۱۶۰	کوهبنان
۰/۱۴	۷/۲	۱۳۰	پشت بادام
۰/۰۶	۷	۹۰	نائینی
۰/۰۶	۶/۸	۶۰	جعفرآباد

در شکل گیری سیماهای تکتونیکی کنونی ایران ایفا کرده است. طی رخداد فازهای تکتونیکی مقاومت، شکستگیها و گسل های بزرگ و بی سنتگی مهمی همچون گسلهای دهشیر-بافت، گسل چاپدونی، گسل انار و ... در این منطقه شکل گرفته است. وجود نوارهای افیولیتی و سیماهای خطی آتشفسانی گواهی بر عمق زیاد فرایندهای گسلش در این منطقه می باشد. وقوع گسلش های متواالی بصورت فرازمین-فروزمن در این منطقه باعث قرارگیری سیماهای مورفتکتونیکی مقاومت در کنار هم گشته است. بسیاری از دشت ها و کویرهای موجود در این منطقه در حقیقت آثاری از فراواتدگیها و گسلشای قدیمی با مکانیزم فروزمن بوده که در حال حاضر بصورت مناطق پست در مجاورت ارتفاعات قرار گرفته اند (Kargaranbafghi et al., 2011).

شکل (۱) تصویر ماهواره ای و مدل رقومی ارتفاع استان یزد را نشان می دهد. براساس مدل رقومی ارتفاع می توان مشاهده نمود که مناطق مرتفع و پست در راستاهای تقریبا موازی و با روند شمال غرب-جنوب شرق نسبت به یکدیگر قرار گرفته اند. در شکل (۱الف) راستاهای محتمل شکستگیهای بی سنتگی در نقشه مدل ارتفاع رقومی منطقه ترسیم شده است. این راستاهای احتمالی با راستای برحی از مهمترین گسلهای موجود در منطقه، همچون گسل های دهشیر، انار، کوهبنان و جعفرآباد منطبق می باشند.



شکل ۱. تصویر ماهواره ای (A) و (B) مدل رقومی ارتفاع استان یزد

از دیدگاه سنگ شناسی این منطقه دارای قدیمیترین سنگهای شناخته شده دگرگونی متعلق به پرکامبرین است که عمدها در شرق استان یزد دارای بیرون زدگی می باشند. بی سنگ بلورین و مقاوم ایران مرکزی به همراه پوشش پلافرمی آن باعث شده است تا این بخش از پوسته ایران در برابر میدانهای تنش تکتونیکی همچون یک جسم صلب و مقاوم رفتار نماید. از اینرو به دلیل بالا بودن ذاتی مقاومت برشی توده های سنگی و توان بالای تجمع تنش معمولاً رخدادهای لرزه ای و آزادسازی امواج الاستیک با قدرت بیشتری صورت می پذیرد (Jackson, 1995).

براساس نقشه گسلهای فعال ایران، گسلهای لرزه زای مهمی در پهنه استان یزد مورد شناسایی قرار گرفته اند (Hessami et al., 2003). شکل (۲) مهمترین گسلهای استان یزد را نشان می دهد. جدول ۱ لیست گسلهای لرزه ای استان یزد به همراه برحی از بیزگیها همچون طول گسل و بزرگترین زلزله محتمل براساس رابطه تجربی (۱) (Mohajer-Ashjai and Nowroozi, 1978) و شتاب محتمل بر شهر یزد، بر اساس رابطه (۲) (Donovan, 1973) را نشان می دهد.

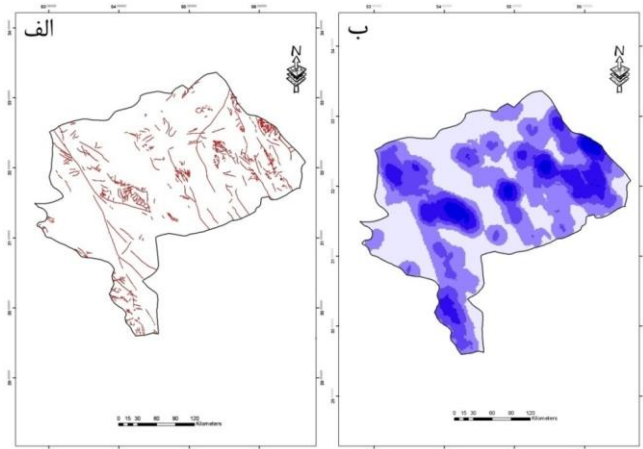
$$M = 5.4 + \log LR \quad (1)$$

$$Y = 1080 e^{0.58M} (R+25)^{-1.32} \quad (2)$$

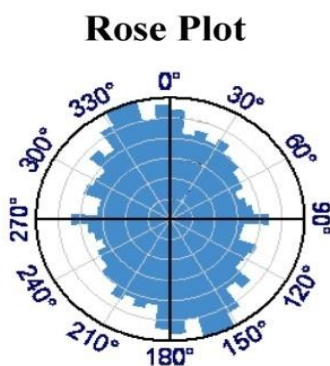
رابطه بالا LR برابر با نصف طول گسل، M بزرگی محتمل، Y شتاب افقی و R فاصله کانونی تا محل مورد نظر می باشد.

شتابهای موجود در جدول (۱) شتابهای افقی وارده بر شهر یزد در نتیجه وقوع بیشینه زلزله محتمل حاصل از فعالیت گسل ها می باشد. توان شتاب بیشینه

موجود در پهنه استان یزد و نقشه تراکم شکستگی را نشان می‌دهند. منظور از تراکم شکستگی در این تحقیق عبارت است از نسبت تعداد شکستگیها در واحد سطح به این منظور پهنه مورد مطالعه به شبکه‌های مربوطی با طول ۲ در ۲ کیلومتر تقسیم بندی شد و تراکم شکستگی برای هر شبکه مربعی محاسبه و به مرکز هر شبکه وزن دهی گردید (شکل ۵ ب). نقشه تراکم شکستگیها نشان دهنده بیشترین تراکم شکستگیها در بخش‌های مرکزی و شرقی استان می‌باشد. با استفاده از ابزار افزوده شده Polar Plot در محیط GIS راستای آزموتی هر خطواره محاسبه و نمودار جهت پایان غالب ساختارهای خطی تهیه گردید (شکل ۶). بر این اساس دو روند غالب با موقعیت‌های $(330^{\circ}-345^{\circ})$ و $(355^{\circ}-005^{\circ})$ برای توزیع مکانی ساختارهای خطی در محدوده مورد مطالعه بدست آمد (شکل ۶).



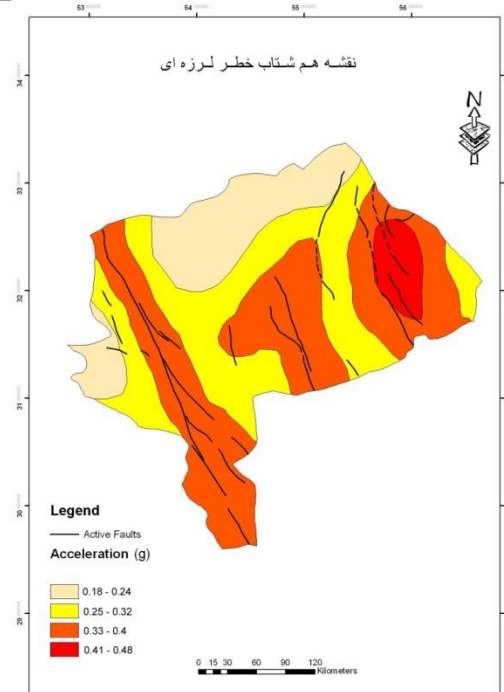
شکل ۵. (الف) نقشه خطواره‌های موجود در استان یزد. (ب) نقشه تراکم شکستگی‌ها



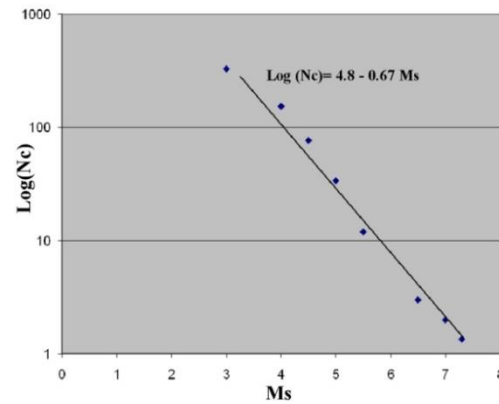
شکل ۶. نمودار گل سرخی مربوط به روند غالب ساختارهای خطی

تحلیل جهت یابی رومرکز زلزله‌ها و بیضی تنش

بررسی چشمی نقشه پراکندگی رومرکز زلزله‌های محدوده زمانی ۱۹۰۰ تا ۲۰۱۴ میلادی در استان یزد (شکل ۳)، به خوبی نشان دهنده چگالی بالاتر فرایندهای لرزه‌ای در محدوده‌های شرقی استان می‌باشد. این مساله در نقشه شدت تراکم دادهای رومرکز لرزه‌ای (نسبت تعداد رومرکز‌های لرزه‌ای به واحد سطح) نیز به خوبی نشان داده می‌شود (شکل ۷). آنجه از مقایسه شکلهای ۷ و ۸ به حاصل می‌شود، نشان دهنده بالا بودن تراکم فعالیتهای لرزه‌ای در مناطق با تراکم بالاتر شکستگیها بویژه در بخش‌های شرقی استان می‌باشد.



شکل ۳. نقشه هم شتاب لرزه‌ای در استان یزد

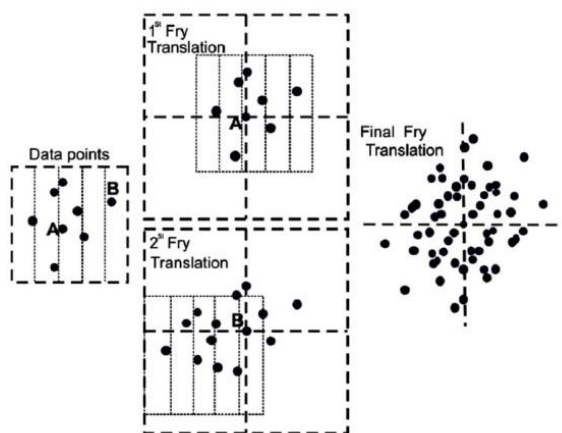


شکل ۴. نمودار فراوانی تجمعی بزرگی (گوتبرک-ریشتر) برای زلزله‌های بزرگ‌تر از $M_b=3$ ریشتر و محاسبه پارامتر b

بحث

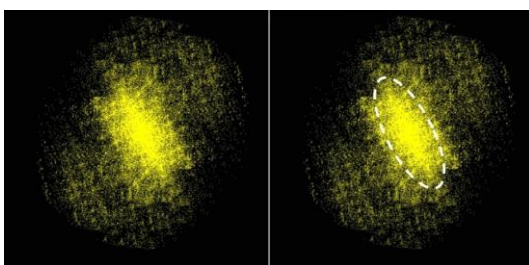
تحلیل جهت یابی گسل‌ش

نقشه تکتونیکی گسل‌های فعال (شکل ۲) تراکم کامل و مناسبی از گسل‌های کوچک‌تر و کم اهمیت تر را نشان نمی‌دهد. از این رو در نقشه پراکندگی رومرکز سطحی زلزله‌ها ممکن است دادن هر رخداد لرزه‌ای به یک گسل مشخص امکان پذیر نمی‌باشد. بمنظور استخراج تصاویر ماهواره (گسل و شکستگیها) با استفاده از پردازش چشمی و فیلترسازی تصاویر ماهواره ای مهمترین خط واره‌های استان یزد استخراج گردید. با توجه به محدودیت در تفکیک قدرت مکانی و توان لرزه‌ای اندک ساختارهای خطی شکنا با طول کوچک، به این منظور حدائق طول بحرانی برای استخراج خط واره‌ها معادل ۵۰۰ متر در نظر گرفته شد و کلیه خط واره‌ها با طول بزرگ‌تر از حد بحرانی ۵۰۰ متر استخراج گردید. شکل (۵ الف و ب) به ترتیب نقشه خط واره‌های

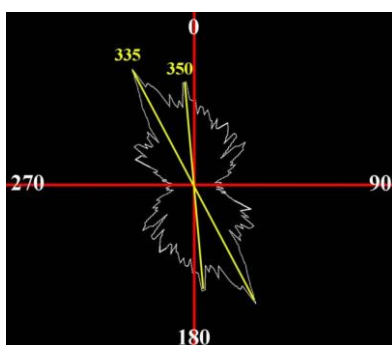


شکل ۸. طرح کلی روش رسم الگوی Fry برای مجموعه ای از داده های نقطه ای

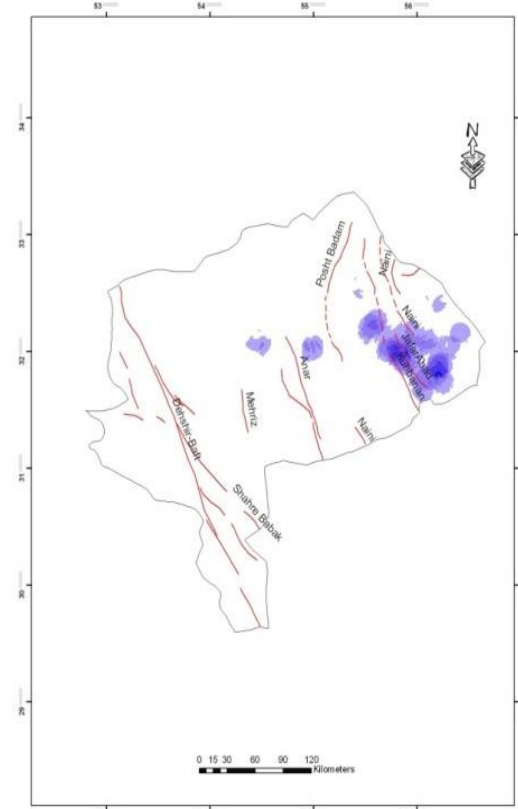
آنالیز فری معمولاً به دو روش دستی یا نرم افزاری صورت می گیرد. در این پژوهش با استفاده از مجموعه نرم افزاری DotProc به بررسی الگوی مکانی داده های نقطه ای رومرکز زلزله ها پرداخته شده است. شکل (۹) نشان دهنده الگوی فری حاصل از تحلیل رومرکز زلزله ها در استان یزد می باشد. به گونه ای که مشخص است یک روند غالب شمال غرب-جنوب شرق در توزیع مکانی داده های نقطه ای مشاهده می شود. بمنظور فهم بهتر روند غالب الگوی مکانی داده های مربوط به رومرکز زلزله ها نمودار جهت یابی داده های نقطه ای بصورت نمودار گل سرخی ترسیم شده است (شکل ۱۰). براین اساس دو روند ۳۳۵ و ۳۵۰ روندهای غالب در توزیع و انتشار امواج لرزه ای می باشند.



شکل ۹. الگوی فری حاصل از تحلیل رومرکز زلزله ها



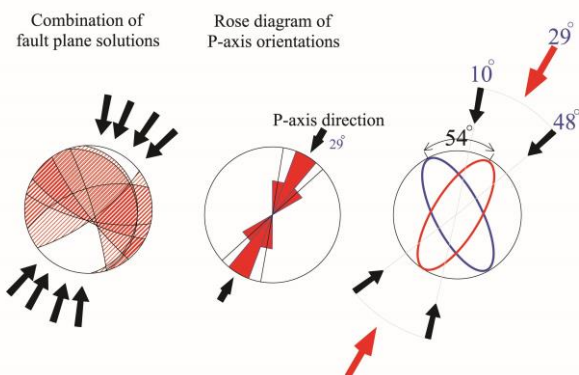
شکل ۱۰. نمودار جهت یابی داده های نقطه ای بصورت نمودار گل سرخی



شکل ۷. نقشه شدت تراکم رومرکز رخدادهای لرزه ای

بخش‌های مرکزی استان با وجود بالا بودن تراکم شکستگیها تراکم پائینی از فعالیتهای لرزه ای را نشان می دهد. توجیه پذیری این مساله می تواند بوسیله ماهیت متفاوت سنگ شناسی و مکانیکی در قسمتهای مرکزی و شرقی، رفتار غیرلرزه ای گسل ها در بخش های مرکزی و یا عدم جهت یافتنگی هندسی مناسب گسل ها نسبت به میدانهای تنش محلی در بخش‌های مرکزی دانست (Talebian and Jackson, 2004).

اما به دلیل پراکندگی نامنظم و پهنه ای رومرکز زلزله ها، تشخیص یک چندین روند غالب در الگوی پراکنش رخدادهای لرزه ای امکان پذیر نمی باشد. به این منظور تلاش شد تا با استفاده از تحلیل فری مربوط به داده های نقطه ای رومرکز زلزله ها، به روندهای غالب در الگوی مکانی آنها دست یافته شود. تحلیل فری اولین بار توسط (Fry, 1979) جهت تحلیل استرین در سنگهای دگرشکل شده به کار گرفته شد. تاکنون مطالعات زیادی در خصوص تحلیل های استرین با استفاده از روش فری صورت پذیرفته است (Bhattacharyya and Webber, 2004; Xypolias, 2009). فری برای اولین بار توسط (Vearncombe, 1999) برای تحلیل توزیع مکانی کانسارهای مختلف مورد استفاده قرار گرفت. تحلیل فری در حقیقت یک روش هندسی خود انطباقی برای داده های نقطه ای می باشد. با استفاده از این روش می توان بدون استفاده از معادلات پیچیده ریاضی به سرعت به روندهای غالب داده های نقطه ای پی برد. تحلیل فری با استفاده از انتقال های مکرر داده های نقطه ای نسبت به یک نقطه مرکزی و خط مرجع صورت می گیرد و نتیجه حاصله تحت عنوان الگوی فری معروف است (شکل ۸).



شکل ۱۲. راستای میانگین محور تنش فشارشی حداکثر، بیضی تنش و ارتباط بین راستای محور تنش فشاری اصلی (بیضی قرمز) و راستای غالب فرایندهای لرزه ای (بیضی آبی)

نتیجه گیری:

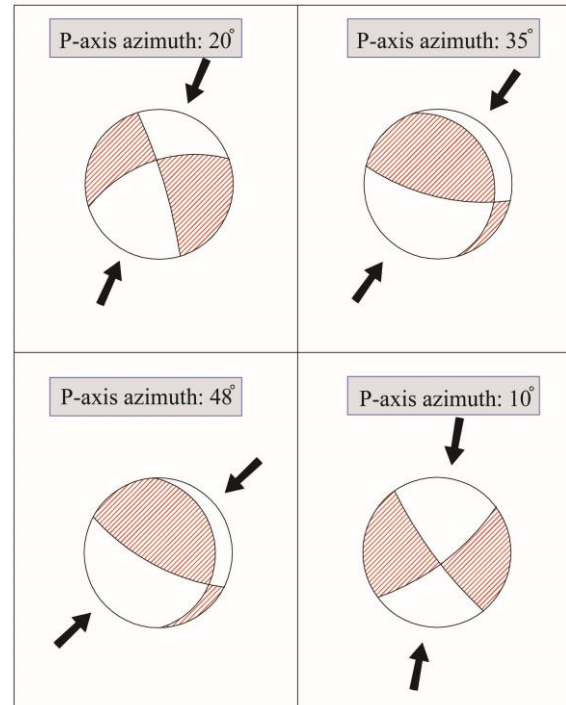
تحلیل جهت یابی ساختارهای خطی همچون گسلها و شکستگیها بوسیله ترسیم نمودارهای گل سرخی یک روش متداول در فهم راستاهای غالب این ساختارها است. تحلیل جهت یابی روندهای غالب داده های نقطه ای به دلیل ماهیت متفاوت شان بوسیله روشهای روشی محدود مترادول امکان پذیر نبوده و از این رو نسبت به داده های خطی کمتر مورد توجه قرار گرفته اند.

تعیین روند غالب گل سرخی مکانی داده های نقطه ای در مطالعات مختلف نقش بسیار مهمی در تحلیل های ساختاری و تصمیم گیریهای کارشناسی ایفا می کند. بعنوان مثال تحلیل داده های نقطه ای مربوط به گسل ها یا پتانسیلهای معدنی در شناخت راستاهای روندهای غالب کانه زایی بسیار با اهمیت است. در بسیاری موارد به دلیل مشخص نبودن اثر گسل ها بر روی سطح در نتیجه پوشیده شدن اثر گسل بوسیله پوشش رسوبی، نسبت دادن داده های رومرکز زلزله به یک روند مشخص ساختاری بسیار دشوار یا غیر ممکن می باشد. در حالات دیگر ممکن است وقوع رخدادهای لرزه ای در ارتباط با گسلهای پنهان و یا پی سنجی بوده و هیچ ارتباطی با آثار گسلش سطحی نداشته باشد. در چنین مواردی تعیین گل سرخی مکانی داده های نقطه ای مربوط به رومرکز زلزله ها کمک شایانی در حل ابهامات مربوط به این مسائل خواهد داشت. تحلیل فری یک روش مهم، سریع و کارآمد جهت تعیین روند غالب داده های نقطه ای می باشد. از این رو مطالعه و تعیین راستاهای بالقوه در وقوع رخدادهای لرزه ای در پهنه های کارستی، انتشار آبهای زیرزمینی، روندهای غالب در توسعه حوزه های کارستی، توآند بعنوان مهمترین جنبه های کاربردی این پژوهش مورد توجه واقع شود. در این پژوهش با استفاده از روش فری گل سرخی مکانی غالب رومرکز زلزله های مربوط به استان یزد تعیین گردید. نتایج حاصل از تحلیل جهت یابی روندهای غالب ساختارهای خطی و رومرکز زلزله ها نشان می دهد که:

- روند غالب گسل ها و شکستگیهای سطحی در پهنه استان یزد یک روند شمال غرب-جنوب شرق می باشد.
- پراکنش رومرکز زلزله ها یک گل سرخی پهنه ای، پراکنده و نامشخص نبوده بلکه دارای یک روند باز شمال غرب-جنوب شرق می باشد.

از آنجا که داده های مربوط به حل صفحه گسل (Fault plane solution) یکی از معیارهای متداول و معتبر در بررسی و تفسیر میدانهای تنش کنونی می باشند؛ (Austermann and Iaffaldano, 2013; Lacombe and Mouthereau, 2006) از اینرو سعی شد تا با استفاده از تحلیل های حل صفحه گسل به بررسی ارتباط میدانهای تنش کنونی و الگوی غالب در روند گسلش و رخداد فعالیت های لرزه ای پرداخته شود. با توجه به داده های اندک مربوط به حل صفحه گسل در منطقه (شکل ۱۲)، تنها با استفاده از داده های مربوط به چهار رخداد لرزه ای به بررسی روند غالب محور های اصلی تنش فشارشی (P-axis orientation) پرداخته شد (شکل ۱۱). بر این اساس با ادغام داده های موجود، محدوده مکانی محورهای تنش فشارشی اصلی ($P\text{-axis} < 48^\circ$) و راستای میانگین محور تنش فشارشی بر اساس نیمساز محدوده تنش (Lacombe and Mouthereau, 2006)، (شکل ۱۲) تعیین گردید.

با فرض انطباق راستای تنش فشاری اصلی با محور بزرگ بیضی تنش، موقعیت بیضی تنش حاصل گردید (بیضی قرمز رنگ در شکل ۱۲). با مقایسه جهت یابی موقعیت محورهای بزرگ بیضی تنش و بیضی مربوط به روند غالب انتشار فعالیتهای لرزه ای (بیضی آبی رنگ در شکل ۱۲) چنین استباط می شود که روند غالب فعالیتهای لرزه ای و انتشار امواج الاستیک طی زاویه ۵۴ درجه نسبت به روند عمومی تنشهای فشاری قرار گرفته است. این حقیقت ناشی از تمرکز حداکثر تنش برشی حاصل از تنشهای فشاری بر روی گسل هایی است که در جهت یابی هندسی مناسبی نسبت به میدانهای تنش اصلی قرار گرفته اند (Talebian and Jackson, 2004). بنابراین می توان چنین اظهار داشت که این مساله مهمترین موضوع در انطباق راستاهای بدست آمده از تحلیل نمودار گل سرخی گسل ها و تحلیل فری حاصل از الگوی مکانی رومرکز زلزله ها می باشد.



شکل ۱۱. داده های حاصل از حل صفحه گسل مربوط به چهار رخداد لرزه ای در استان یزد

- گسل هایی که جهت یابی آنها نسبت به تنشهای اصلی حداکثر بگونه ای است که وقوع تنش برشی حداکثر بر روی آنها بوقوع می پیوندد، با اهمیت ترین گسل ها در ارتباط با وقوع رخدادهای لرزه ای می باشند.

قدرتانی:

بدین وسیله از معاونت پژوهشی دانشگاه شهید چمران اهواز به دلیل همکاریهای صورت گرفته جهت پیشبرد اهداف این تحقیق قدردانی بعمل می آید. همچنین از مسئولین محترم مجله زمین شناسی کاربردی پیشرفتی جهت مدیریت فرایند داوری و داوران علمی مقاله که با بررسیها و پیشنهادهای خود در افزایش کیفیت سطح علمی مقاله کمک نمودند تشکر و قدردانی می شود.

- انطباق روندهای بدست آمده مؤید این مطلب است که گسلهای شمال غربی-جنوب شرقی نقش بسیار مهمی در فعالیت های لرزه ای استان داشته و نقش آنها در مطالعات لرزه شناسی و مهندسی با اهمیت می باشد.

- بالا بودن تراکم فعالیتهای لرزه ای در مناطق با تراکم بالاتر گسل ها و شکستگیها بویژه در بخشهای شرقی استان.

- رفتار غیرلرزه ای گسل ها در بخش های مرکزی نسبت به بخشهای شرقی استان احتمالا در ارتباط با عدم جهت یافتنگی هندسی مناسب گسل ها نسبت به میدانهای تنش محلی در بخشهای مرکزی می باشد.

- تشابه روند گسلش های عمیق و پی سنگی با آثار گسلش سطحی و یا عدم فعالیت گسل های پنهان یا پی سنگی با روندهای دیگر.

منابع:

اسلامی. س، درخشانی. د، ۱۳۹۳، کاربرد روش های عددی در شناسایی چشمehهای لرزه ای: مطالعه موردی استان سیستان و بلوچستان، مجله زمین شناسی کاربردی پیشرفتی دانشگاه شهید چمران اهواز، شماره ۱۴، ص ۶۰-۶۴.

علیمی. م، خطیب. م.م، خالد حسامی. آ، هیهات. مر، ۱۳۹۳، ارزیابی لرزه زمین ساختی راندگی ها و پهنه های گسلی پنهان در گستره مختاران- خاور ایران، مجله زمین شناسی کاربردی پیشرفتی دانشگاه شهید چمران اهواز، شماره ۱۲، ص ۴۱-۵۲.

Austermann, J. and Iaffaldano, G., 2013. The role of the Zagros orogeny in slowing down Arabia-Eurasia convergence since ~5 Ma. *Tectonics*, vol. 32, pp.351-363.

Berberian, M., 1976- Contribution of the seismotectonics of Iran (Part II). *Geol. Surv. Iran, Rep.* No. 39.

Bhattacharya, A.R., Webber, K., 2004. Fabric development during shear deformation in the Main Central Thrust Zone, NW-Himalaya, India. *Tectonophysics* 387, 23–46.

Donovan, N.C., 1973. A statistical evaluation of strong motion data including the February 9. 1971. San Fernando Earthquake. *Proc. 5th World Conf. Earthquake Eng.. Rome.* Paper 155.

Fry, N., 1979. Random point distribution and strain measurements in rocks. *Tectonophysics* 60, 89e105.

Jackson, J., 1995. The accommodation of Arabia-Eurasia plate convergence in Iran. *Journal of Geophysical Research*, 100, 15205-15219.

Kargaranbafghi, F., Neubauer, F., Genser, J., 2011. Cenozoic kinematic evolution of southwestern Central Iran: Strain partitioning and accommodation of Arabia-Eurasia convergence. *Tectonothysics*, 502, 221-243.

Lacombe, O., Mouthereau, F, 2006. Late Cenozoic and modern stress fields in the western Fars (Iran): Implications for the tectonic and kinematic evolution of central Zagros. *Tectonics*, vol. 25, pp. 1-27

Mohajer-Ashjai. A. and Nowroozi, A.A., 1978. Observed and probability intensity zoning of Iran. *Tectonophysics*, 49: 21-30. Mohajer-Ashjai, A. and Nowroozi.

Nowroozi, A., 1976- Seismotectonic Provinces of Iran, *Bull. Seism. Soc. Am.*66, pp1249-1276.

Talebian, M. & Jackson, J., 2004. A reappraisal of earthquake focal mechanisms and active shortening in the Zagros mountains of Iran, *Geophys. J. Int.*, 156, 506–526.

Verncombe, J, 1999. The Spatial Distribution of Mineralization: Applications of Fry Analysis. *Economic Geology*, vol.94, pp.475-486

Xypolias, P., 2009. Some new aspects of kinematic vorticity analysis in naturally deformed quartzites. *Journal of Structural Geology* 31, 3-10.